

PAL

(1) ER is een C=C ontstaan: -2H

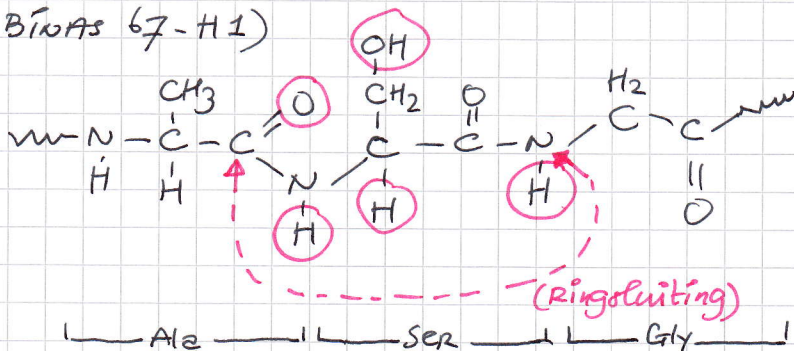
ER is een NH<sub>2</sub>-groep afgesplitst: -NH<sub>2</sub>

Totaalformule fenylalanine = C<sub>9</sub>H<sub>11</sub>O<sub>2</sub>N

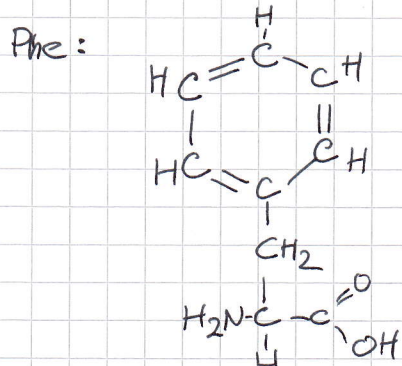
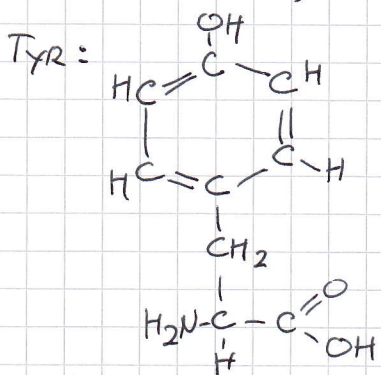
Totaalformule kaneelzuur = C<sub>9</sub>H<sub>8</sub>O

$$\Delta = \text{NH}_3$$

(2) (BINAS 67-H1)



(3) (BINAS 67-H1)



(1) De structuur van het enzym moet in principe zoveel mogelijk intact blijven. Tyr en Phe zijn namelijk even groot.

(2) Bij vervanging van Tyr door Phe "verdwijnt" een OH-groep. Dies ook een mogelijkheid tot ringvorming, of waterstofbindingen, of een condensaties reactie.

Dit kan belangrijk zijn bij het wel of niet functioneren van het enzym.

(4) Actieve PAL bevat Tyr op 110 (BINAS 71-G) m-RNA codon: UAU of UAC

Inactieve PAL bevat Phe op 110 m-RNA codon

UUU or UUC

op de coderende streng wordt: T in plaats van U (BINAS -71-E) in de metryssstreng is dat (T) metryssstreng: (A)

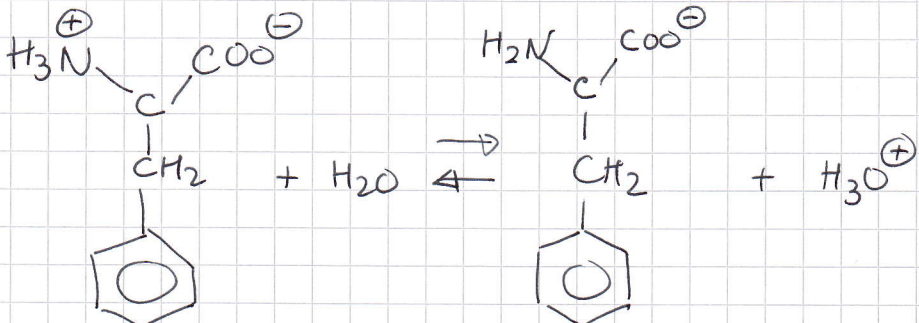
	actieve PAL	inactieve PAL
base op coderende streng	A	T
base op complementaire metryssstreng	T	A

(5) Het gaat om het 110<sup>e</sup> aminozuur in PAL  
Elk aminozuur wordt gecodeerd door 3 basen } →

→ de basen voor het 110<sup>e</sup> aminozuur zijn 328-329-330

→ het basepair van de pointmutatie bevindt zich op # 329

(6)



$$\text{gegeven: } K_2 = 7,4 \cdot 10^{-10}$$

$$\frac{[\text{un-NH}_2][\text{H}_3\text{O}^+]}{[\text{un-NH}_3^+]} = 7,4 \cdot 10^{-10}$$

$$[\text{H}_3\text{O}^+] = 10^{-8,80}$$

$$\rightarrow \frac{[\text{un-NH}_2]}{[\text{un-NH}_3^+]} = \frac{7,4 \cdot 10^{-10}}{10^{-8,80}} = \frac{7,4 \cdot 10^{-10}}{1,6 \cdot 10^{-9}} = 0,46$$

$$\rightarrow [\text{un-NH}_2] = 0,46 \cdot [\text{un-NH}_3^+] \quad \left. \begin{array}{l} \text{by eloser: } 100\% \\ \% \sim \text{NH}_2 = x \end{array} \right\} \rightarrow$$

$$\rightarrow x + 0,46 \cdot x = 100 \rightarrow x = \frac{100}{1,46} = 68\%$$

(7) Het negatief geladen O<sup>6</sup> van de Tyr-110 groep heeft een zoutrekende elektrostatische kracht met het + geladen N- atoom van de H-N<sup>+</sup> groep in fenylalanine.  
en een afstotende elektrostatische kracht met het - geladen O- atoom in de carbonyl groep -C=O van fenylalanine.

(8) Gegeven: M<sub>PAL</sub> = 2,75 · 10<sup>5</sup> gram (= 2,75 · 10<sup>8</sup> mg)

$$148 \text{ mg onzuivere PAL dus } \frac{90}{100} \cdot 148 = 133,2 \text{ mg zuiver PAL}$$

$$\rightarrow \text{het monster bevat } \frac{133,2 \cdot 10^{-3}}{2,75 \cdot 10^5} \text{ mol PAL} = 48,4 \cdot 10^{-8} \text{ mol PAL}$$

Die hoeveelheid zorgt voor omzetting van 158 · 10<sup>-6</sup> mol/min.

$$\rightarrow \text{TOF} = \frac{158 \cdot 10^{-6}}{48,4 \cdot 10^{-8}} = 3,3 \cdot 10^2 \text{ substraatmoleculen/min.}$$

(3)

## Waterstofopslag in Carbazool

(9) 50 l benzine  
 $1,0 \text{ m}^3 \text{ benzine levert } 3,3 \cdot 10^{10} \text{ J.}$

$$\left. \begin{array}{l} 50 \text{ l benzine levert} \\ 50 \cdot 3,3 \cdot 10^{10} = 0,165 \cdot 10^{10} \text{ J.} \end{array} \right\} \frac{1000}{1000}$$

Voor de waterstof-auto is dus nodig:  $\frac{0,165 \cdot 10^{10}}{2} \text{ J}$

Het gaat om de vorming van  $\text{H}_2\text{O(g)}$   
 (BINAS 57-4) vormingswarmte  $\text{H}_2\text{O(g)} = -2,42 \cdot 10^5 \text{ J/mole}$

$$\text{Nodig: } \frac{0,165 \cdot 10^{10}}{2 \cdot 2,42 \cdot 10^5} = 3,40 \cdot 10^3 \text{ mol H}_2\text{-vorming}$$

$$1 \text{ mol H}_2 \equiv 1 \text{ mol H}_2\text{O}$$

$$1 \text{ mol H}_2 = 2,016 \text{ g}$$

$$\rightarrow \text{nodig: } 3,40 \cdot 10^3 \cdot 2,016 = 6,85 \cdot 10^3 \text{ g H}_2 = 6,9 \text{ kg H}_2$$

(10) moleculformule N-ethylcarbazool:  $\text{C}_{14}\text{H}_{13}\text{N}$

Aan elke C=C binding kan 1  $\text{H}_2$  molecuul adderen  $\rightarrow 6 \times \text{H}_2$

$\rightarrow$  moleculformule perhydro-N-ethylcarbazool:  $\text{C}_{14}\text{H}_{25}\text{N}$ .

$$1 \text{ mol } \text{C}_{14}\text{H}_{13}\text{N} = 195,25 \text{ g}$$

$$\text{toename in massa: } 12 \cdot 1,008 = 12,096 \text{ g}$$

$$\text{dat is } \frac{12,096}{195,25} \cdot 100\% = 6,2 \text{ massa \%}$$

(11) Bij volledige omzetting van N-ethylcarbazool (X) naar perhydro-N-ethylcarbazool (Y)

zou uit 1 mol X 1 mol Y ontstaan

Mit het eerste diagram kan worden afgeleid dat wordt

uitgegaan van  $3,0 \cdot 10^{-1} \text{ mol X per liter}$

In het tweede diagram blijft de hoeveelheid minder dan  $3,0 \cdot 10^{-1} \text{ mol Y te zijn}$

$\rightarrow$  de omzetting is Niet volledig

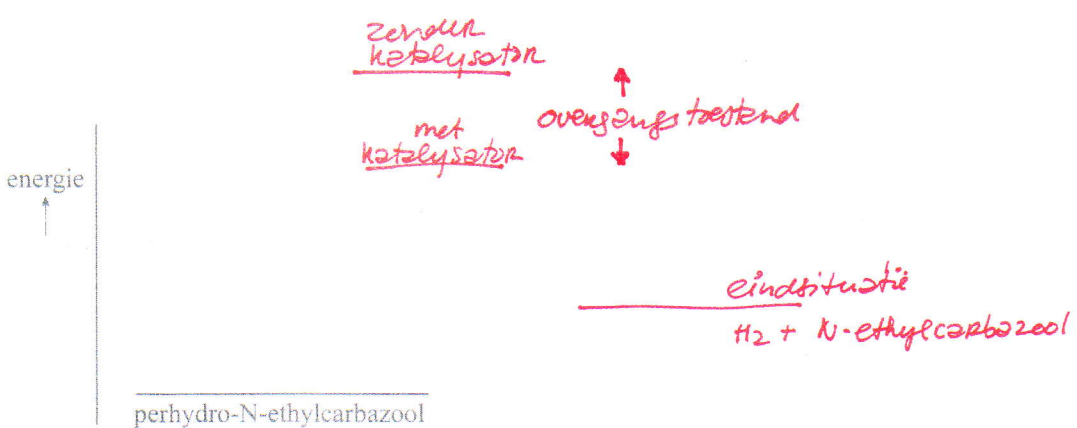
(12) De snelheid bepalende step is de step die het langzaam verloopt. Dus waarbij in een bepaalde hoeveelheid tijd de minste hoeveelheid stof wordt omgezet en daas de grootste hoeveelheid stof "schnellert".  
 Dat is de vorming van tussenproduct 3

(13) Het risico op een explosie van  $\text{H}_2$  is klein, omdat

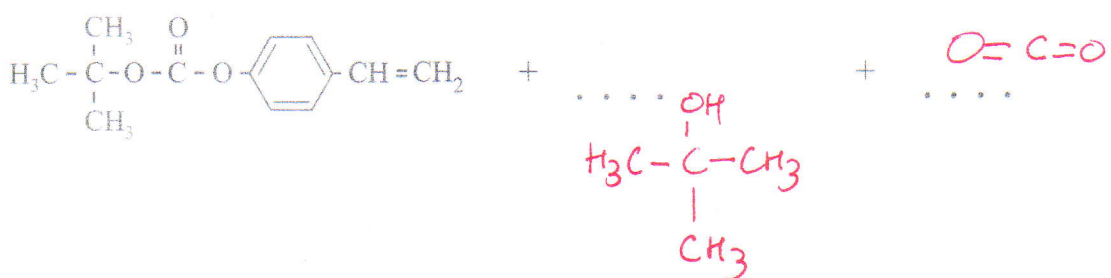
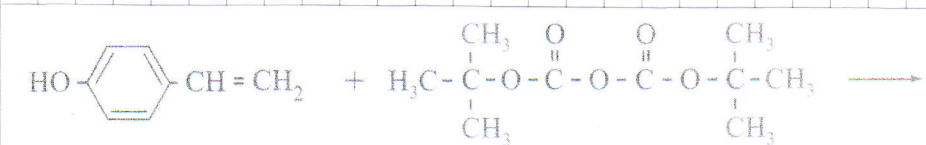
- Het vrijhouden van  $\text{H}_2$ -gas uit p-N-e endotherm is.
- Bovendien is voor dat proces een katalysator nodig.
- De reactie vindt plaats bij  $T > 200^\circ\text{C}$

Bij opslagen en vervoer zijn deze omstandigheden Niet zeker.  
 $\rightarrow$  er kan geen  $\text{H}_2$  worden gevormd.

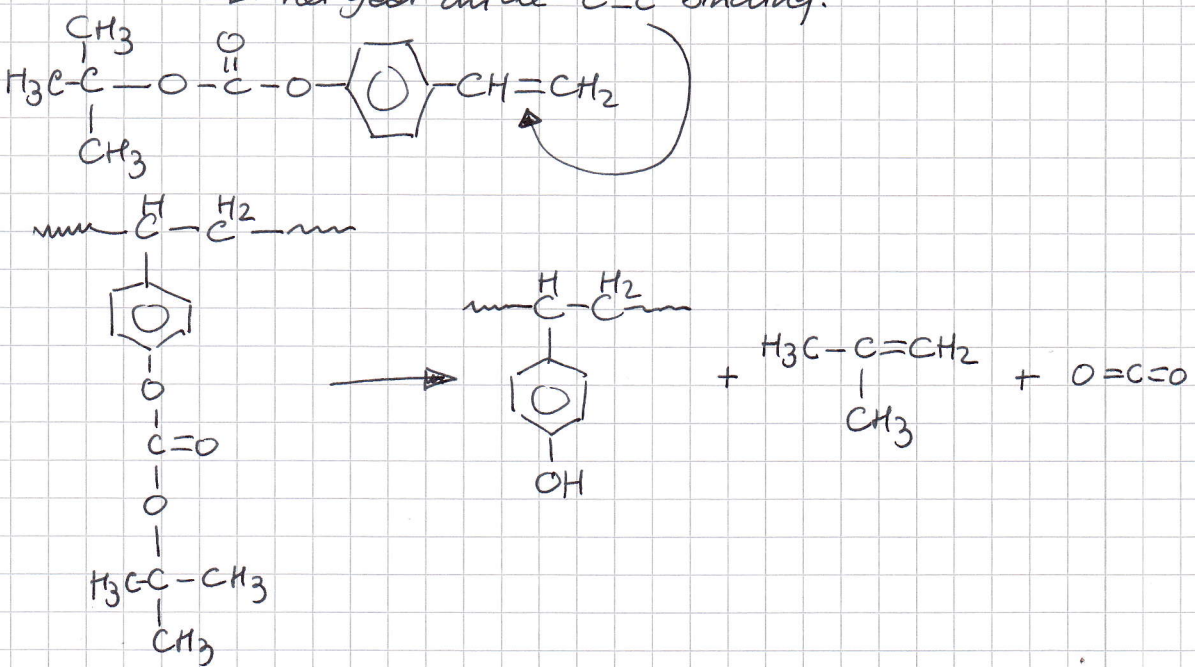
14



15



(16) Gegeven: er is sprake van additie bij de vorming van co-polymeren.  
 → het gaat om de  $\text{C}=\text{C}$  binding.



(5)

- (17)  $H^+$ -ionen katalyseren het proces  $\rightarrow$  ze worden NIET verbruikt.  
Eén PAG molecuul kan dus zorgen voor omzettingen van meer BOC-4 -

De omzetting van BOC-4-hydroxystyreen neemt meer toe dan PAG zelf heeft.

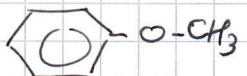
De breuk wordt dan  $\frac{1}{>1}$ , dus kleiner dan 1.

- (18) In basisch milieu zal de fenolgroep voorzien als het negatieve  $O^-$  zal waterstofbruggen vormen met de omringende watermoleculen.  
 $\rightarrow$  poly-4-hydroxystyreen voelt zich ~~beter~~ thuis in water  $\rightarrow$  last beter op.



- (19) Het niet door uv beschoten deel zal nog BOC-4-hydroxystyreen eenheden bevatten. Die zijn  $\alpha$ -polair van herkomst (geen OH-groepen o.i.d.).

Methoxybenzeen is ook een  $\alpha$ -polaire stof

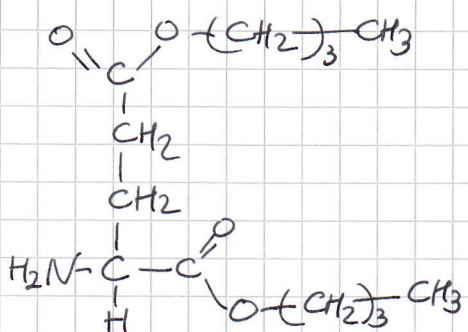


Het materiaal met de nog zwaarige BOC-4-hydroxystyreen eenheden zal daarin oplossen.

- (20) Bij verlaging van de  $[H_2]$  worden minder  $H\cdot$  radicalen gevormd.  
de  $H\cdot$  Radicalen "neutraliseren"  $F\cdot$  Radicalen  
 $\rightarrow$  en zullen bij lagere  $[H_2]$  meer  $F\cdot$  zwaarig zijn  
 $\rightarrow$  Reactie 4 zal meer optreden  
 $\rightarrow$  de etsnelheid neemt toe maar bij hogere  $[F\cdot]$  kan ook na een SI worden ontgaat  
(Reactie 6)  
waarbij de selectiviteit afneemt

### Chemiciën uit biomassa

- (21) (BINAS 67-H1)



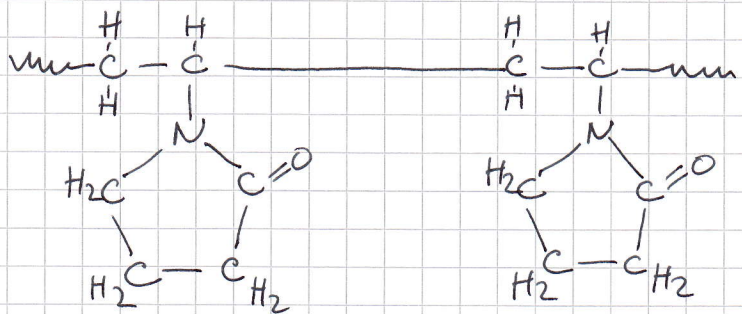
- (22) Gegeven: butaan-1-dol dreigt op water  $\rightarrow$  de reactie vindt plaats op het grensvlak.

Door schudden zullen meer deeltjes per tyds eenheid met elkaar in contact kunnen komen.

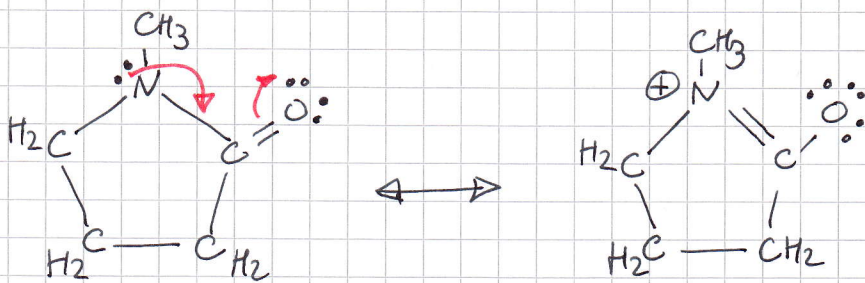
meer effectieve botsingen  $\rightarrow$  botsingen per t  $\rightarrow$  hogere reactiesnelheid.

(6)

(23) Additieve polymerisatie, dus het gaat om de ' $C=C$ ' binding.



(24)



(25) Bij Reactie 1 wordt een  $C\begin{matrix} \parallel \\ OH \end{matrix}$  groep afgesplitst ( $\rightarrow CO_2$ )

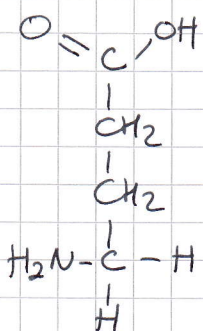
(de groep naast  $H_2N$ )

verwege de  
laatste Ringsluiting)

Bij de Ringsluiting van GABA  
wordt  $H_2O$  afgesplitst.

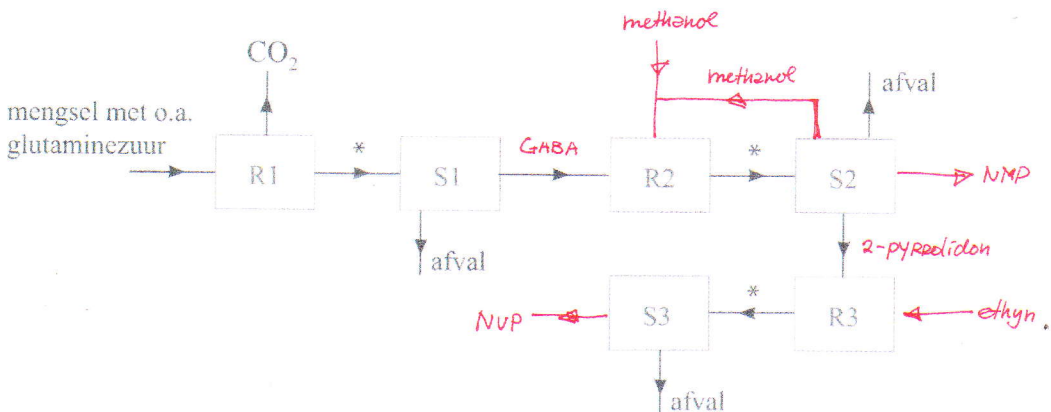
(Interne Reactie tussen  $H_2N$ -en  $C\begin{matrix} \parallel \\ OH \end{matrix}$  groep)

GABA:



(26) Bij Reactie 4 Reacteert 2-pyrrolidone met  $H-C\equiv C-H$   
Dit is dus een additieve reactie

(27)



(28) (BINAS gg) 1 mol glutaminezuur ( $C_5H_9O_4N$ ) = 147,13 g

1 mol NVP ( $C_6H_9ON$ ) = 111,14 g

1 mol NMP ( $C_5H_9ON$ ) = 99,13 g

correspondentie<sup>6</sup> zuurwezig:  $\frac{1538 \cdot 10^3}{147,13}$  mol glutaminezuur

totale % eindresultaat is het product van alle tussenpercentages

$$\text{totaal NMP: } \frac{1538 \cdot 10^3}{147,13} \cdot \frac{100}{100} \cdot \frac{100}{100} \cdot \frac{50}{100} \cdot \frac{92}{100} \cdot 99,13 = 4,8 \cdot 10^5 \text{ g NMP}$$

$$\text{totaal NVP: } \frac{1538 \cdot 10^3}{147,13} \cdot \frac{100}{100} \cdot \frac{100}{100} \cdot \frac{100-50}{100} \cdot \frac{100}{100} \cdot \frac{90}{100} \cdot 111,14 = 5,2 \cdot 10^5 \text{ g NVP}$$

John van den Boogaert